

1. SISSEJUHATAVAIT SOOJUS- JA AINELEVI ALUSTEST

1.1. Soojus- ja ainelevi mõiste

Soojus- ja ainelevi füüsika on Üks soojustehnika teoreetilisi põhialuseid.

Soojuslevi tähendab siseenergia kulgu mingis kehas või kehade süsteemis, mille põhjustab temperatuurivahe. Ühtlase temperatuuriga kehas või kehade süsteemis soojuslevi puudub.

Eristatakse kolme soojuslevi lihtvormi:

- juhtivuslik - toimub aineosade vahetu kontakti teel ja esineb tüüpiliselt tahketes kehaosades;
- konvektiivne - toimub aineosade segunemise ja kontakti kombinatsioonina ning esineb tüüpiliselt gaasi ja vedelike kihtides;
- kiirguslik - toimub elektromagnetilise lainenähtusena, levib tõkestamatult vaakumis ja hästi ka gaasilises keskkonnas.

Enamasti puutume inseneripraktikas kokku liitsoojuslevi juhtudega, kus peab arvestama mitme soojuslevi lihtvormi koostoimega.

Loodusnähtustes ja põllumajandussaaduste soojuslikul töötlemisel lisandub soojuslevile veel vedelike ja gaaside levit, mida nimetatakse üldistavalt aineleviks.

Ainelevi esineb näiteks niiskumise, kuivamise, keemise, kondenseerumise, difusiooni ja sublimatsiooni protsessides. Ainelevi mõjutab reeglina soojuslevi intensiivsust ja seepärast peab soojus- ja ainelevi kompleksprotsesside lahendamisel sellega arvestama.

Eristatakse kahte ainelevi lihtvormi:

- molekulaarne - toimub kapillaarpoorsetes ja kolloidsetes kehaosades difusiooni teel;
- molaarne - toimub kapillaarpoorsete, kolloidsete ja mis-

tahes määratud kehade pinnal ning võib esineda segunemise, aurustumise, kondenseerumise või difusiooni protsessidena.

Käesolevas õpivahendis ei ole seatud eesmärgiks käsitleda ulatuslikke soojus- ja ainelevi kompleksprotsesse vaid on piiratud ainelevi algmõistetega autonoomse selgitusega 9. peatükis.

1.2. Soojusvool ja soojusvoog

Soojusvool Φ väljendab soojust, mis läbib teatud pinna ühes ajahükkus. Teisiti öeldes vastab soojusvool keskmisele soojuslevi võimsusele teatud pinnal suurusega $A \text{ m}^2$. Soojusvoolu mõõtühik SI järgi - W.

Soojusvoog ψ tähendab ühe pindalaühiku kohta tulevat soojusvoolu. Soojusvoo mõõtühik SI järgi - W/m^2 . Soojusvoog võib esineda kas soojusvoolu keskmise tiheduse tähenduses - $\psi = \Phi/A$ või pinnaelemendi dA lokaalse soojusvoona - $\psi = d\Phi/dA$.

Et soojusvool ja soojusvoog on suunaga suurused, siis saab neid käsitleda vektoritena.

Soojusvool ja soojusvoog võivad olla ajas püsivad või muutuvad sõltuvalt keha(de) temperatuurist. Kui keha(de) temperatuur ajas ei muutu, on soojusvool(voog) püsiv ehk statsionaarne. Kui keha(de) temperatuur muutub (näiteks soojendamisel või jahutamisel), on ka soojusvool(voog) muutuv ehk mittestatsionaarne.

1.3. Soojuslevi vormid

Traditsiooniliselt eristatakse järgmisi soojuslevi lihtvorme: juhtivuslik, konvektiivne, kiirguslik.

Juhtivuslik ehk konduktiivne soojuslevi toimub erineva temperatuuriga ainekihtide vahetu kontakti kaudu. Soojusvoogu juhtivusliku soojuslevi puhuks avaldatakse Fourier' valemist:

$$\psi = -\lambda \frac{\partial t}{\partial n} \quad (1.1)$$

Konvektiivne soojuslevi esineb vedeliku või gaasi kihtides, kus konduktsiooni kõrval toimub vedeliku või gaasi kihtide keeriseline segunemine.

Tahke keha pinnal (vedeliku või gaasi kihis) toimuvat konvektiivset soojuslevi nimetatakse soojusülekandeks. Soojusülekandest tingitud soojusvoog arvutatakse Newtoni-Richmanni valemiga:

$$\psi = \alpha \cdot \Delta t. \quad (1.2)$$

Kiirguslik soojuslevi toimub elektromagnetlainete vahendusel. Kõik reaalsed kehad genereerivad ja neelavad soojuskiirgust. Genereeritud kiirgusvoog arvutatakse Stefani-Boltzmanni valemiga:

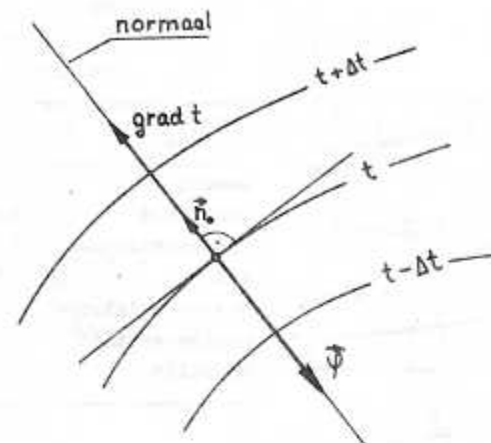
$$E = \epsilon \sigma_0 T^4. \quad (1.3)$$

2. JUHTIVUSLIK SOOJUSLEVI

2.1. Temperatuuriväli

Juhtivusliku soojuslevi analüüs tahketes kehaes taandub kehas kujuneva temperatuurivälja uurimisele. Temperatuuriväli võib olla püsiv (statsionaarne) - $t = f(x, y, z)$ või muutuv (mittestatsionaarne) - $t = f(x, y, z, \tau)$.

Temperatuurivälja üheks tähtsamaks parameetrikse on temperatuurigradiend. Temperatuurigradiend on vektor (vt. joon. 2.1), mis asub isotermpinna elemendi normaali sihil ning on suunatud kõrgema temperatuuriga ruumi osa poole. Vastupidiselt temperatuurigradiendile on soojusvoo vektor suunatud madalama temperatuuriga ruumi osa poole.



Joon. 2.1. Temperatuurigradiend ja soojusvoo vektor

Fourier' hüpoteesi põhjal on nende vektorite moodulid võrdsed ja seega:

$$\vec{\psi} = -\lambda \vec{n}_0 \frac{\partial t}{\partial n}. \quad (2.1)$$

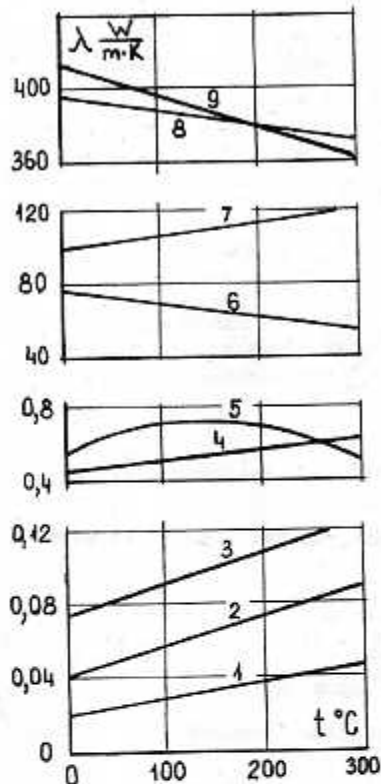
2.2. Soojusjuhtivustegur

Fourier' valemis (2.1) ja (1.1) kasutatud võrdetegur iseloomustab materjali või aine soojusjuhtivuslikku omadust, mis määratakse katsesega (oriendeerivalt vt. tabel 2.1).

Materjalide soojusjuhtivustegur sõltub temperatuurist, (vt. joon. 2.2.).

Parimad soojusjuhid on hõbe ja vask. Siisnikterasel $\lambda \approx 50 \text{ W/(m.K)}$, legeeritud terastel pisut üle 10 W/(m.K) . Temperatuuri tõustes puhaste metallide soojusjuhtivus väheneb, sulamitel aga suureneb.

Vedelike hulgas on vesi üks paremaid soojusjuhte - $\lambda \approx 0,6 \text{ W/(m.K)}$.



Tabel 2.1. Soojusjuhtivusteguri ligikaudsed väärtused

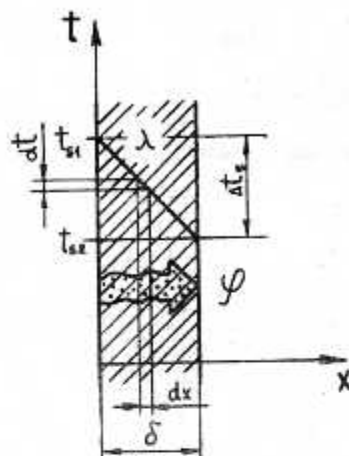
Aine või materjal	λ W/(m.K)
Gaasid	0,006...0,6
Vedelikud	0,09...0,7
Ehitusmaterjalid	0,02...3
Soojusisolatsioonimaterjalid	< 0,25
Metallid	7...490

Joon. 2.2. Materjalide soojusjuhtivustegur sõltuvalt temperatuurist: 1 - õhk, 2 ja 3 - mineraalvatt $\rho = 150 \text{ kg/m}^3$ ja 400 kg/m^3 , 4 - kuiv punane tellis, 5 - vesi, 6 - raud (Fe) 99,9%, 7 - valgevaak, 8 - vask (Cu), 9 - hõbe (Ag)

Poorsete materjalide soojusjuhtivus on väike. Olulisel määral suureneb poorsete ja kapillaarpoorsete materjalide soojusjuhtivus nende niiskumisel.

2.3. Statsionaarse soojusvoo arvutus

2.3.1. Ühekihilise tasandseina paksus olgu δ ja sein materjali soojusjuhtivustegur $\lambda = \text{const.}$, nagu näidatud joon. 2.3.



Joon. 2.3. Temperatuuri muut ühekihilises tasandseinas

Siis $\varphi = -\lambda \frac{dt}{dx}$, millest $dt = -\frac{\varphi}{\lambda} dx$ ning pärast integreerimist

$t = -\frac{\varphi}{\lambda} x + C$ (lineaarse sõltuvus).

Ääritingimustel $x = 0, t = t_{s1}$

ja $x = \delta, t = t_{s2}$, saame

$$t_{s2} = -\frac{\varphi}{\lambda} \delta + t_{s1},$$

millest $\varphi = \frac{\lambda}{\delta} (t_{s1} - t_{s2})$

või

$$\varphi = \frac{t_{s1} - t_{s2}}{\delta/\lambda} = \frac{\Delta t_s}{R_s} \quad (2.2)$$

kus $R_s = \delta/\lambda$ on sein soojustakistus*

Ühekihilise tasandseina paksus on 200 mm, pikkus 2 m ja kõrgus 2,5 m ning sein pinnatemperatuurid $t_{s1} = 20^\circ \text{C}$ ja $t_{s2} = -10^\circ \text{C}$.
 Ühekihilise tasandseina: leiame tabelist betooni soojusjuhtivusteguri $\lambda = 1 \text{ W/(m.K)}$. Avaldame soojusvoolu valemist

$$\Phi = \frac{\lambda}{\delta} (t_{s1} - t_{s2}) A$$

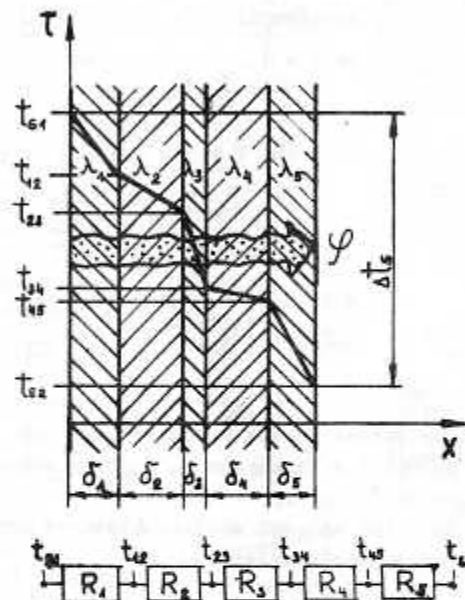
ja arvutame $\Phi = 1/0,2 [20 - (-10)] 2 \cdot 2,5 = 750 \text{ W}$.

2.3.2. Mitmekihilise tasandseina soojustakistuse moodustab soojuslik kihitakistuste summa. Seega saab n-kihilise seinapuhuks soojusvoo avaldada järgmiselt:

* Täpsemalt - erisoojustakistus, sest on avaldatud seinapindala 1 m^2 kohta. Et antud õpivahendis sein kogutakistust kussagil ei kasutata, siis on siin ja edaspidi erisoojustakistus nimetatud lihtsalt soojustakistuseks.

$$\varphi = \frac{\Delta t_s}{\sum_{i=1}^n R_{si}}, \quad (2.3)$$

kus $R_{si} = \delta_i / \lambda_i$ on ühe kihi soojustakistus.



Joon. 2.4. Temperatuur muut mitmekihilises tasandseinas ja mitmekihilise soojusjuhi elektriline mudel statsionaarse soojuslevi puhuks

2.3.3. Paksuseinalise silindri (toru) välispind on sise-pinnast suurem, kuid soojusvool neil pindadel ühesugune. Järelikult peab soojusvoog $\varphi = \Phi / A$ silindrilise seina raadiuse sihil muutuma.

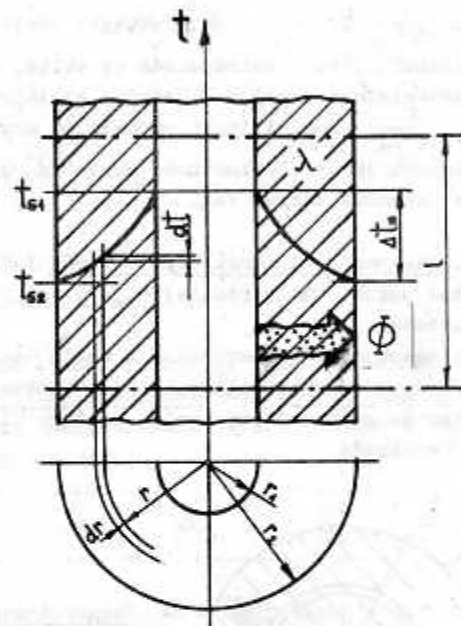
Fourier' valem järgi silinderkoordinaatides (joon. 2.5):

$$\varphi = -\lambda \frac{dt}{dr}, \text{ millest}$$

$$dt = -\frac{\varphi}{\lambda} dr.$$

Pärast asendamist ($\varphi = \frac{\Phi}{2\pi r l}$) ja võrrandi integreerimist saame avaldada temperatuuri:

$$t = -\frac{\Phi}{2\pi l \lambda} \ln r + C.$$



Joon. 2.5. Temperatuur muut silindrilises seinas

Ääretingimustel $r = r_1, t = t_{s1}$ ja $r = r_2, t = t_{s2}$

leiame

$$t_{s1} - t_{s2} = \frac{\Phi}{2\pi l \lambda} \ln \frac{r_2}{r_1},$$

millest

$$\Phi = \frac{t_{s1} - t_{s2}}{R_s} = \frac{\Delta t_s}{R_s},$$

kus $R_s = \frac{1}{2\pi l \lambda} \ln \frac{r_2}{r_1}$ on toru seina soojustakistus.

Kui toru on n-kihiline, siis

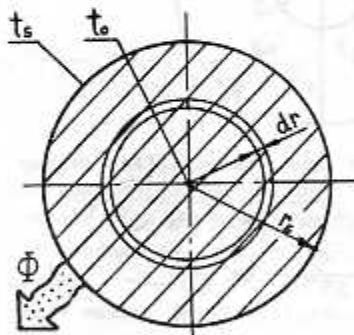
$$\Phi = \frac{\Delta t_s}{\sum_{i=1}^n R_{si}},$$

kus $R_{si} = \frac{1}{2\pi l \lambda_i} \ln \frac{r_{i+1}}{r_i}$ on üksikkihi soojustakistus.

Kui silindri (toru) seinapaksus on väike, siis võib toru seinat soojustakistuse arvutada loetatud silindri seinat takistuseksena $R_s = \frac{\delta}{\lambda \cdot A_k}$ kus silindri pindala A_k arvutatakse silindri keskjäbimõõdu järgi. Jäbimõõtude suhte $d_2/d_1 \leq 1,5$ puhul annab selline lähendus tühise vea.

2.3.4. Sisesoojusallikaga lõputu varda (näiteks elektri-juhtme) puhul pakub huvi varda telje ja pinna temperatuurivahe ($t_o - t_s$) arvutus.

Olgu sisesoojusallika erivõimsus varda ühe ruumalühiku kohta ψ_v W/m³, varda materjali soojusjuhtivustegur konstantne ning kogu vardas genereeritud soojus kantagu üle varrast ümbritsevasse keskkonda.



Joon. 2.6. Sisesoojusallikaga varda ristlõige

Varda 1 m pikkusel lõigul ühe ajalühiku kohta vabaneva soojushulga ψ_e leiame Fourier' valemist:

$$\psi_e = -\lambda 2\pi r \frac{dt}{dr}$$

ja teisiti $\psi_e = \psi_v 2\pi r^2$.

Siit $dt = -\frac{\psi_v}{2\lambda} r dr$

ning pärast integreerimist

$$t_s - t_o = -\frac{\psi_v}{4\lambda} r_s^2$$

või

$$t_o - t_s = \frac{\psi_e}{4\pi\lambda}.$$

3. KONVEKTIIVNE SOOJUSLEVI

3.1. Newtoni-Richmanni valem

Tahke keha pinnal kujunevas vedeliku või gaasi piirkhis esineb konvektiivne soojuslevi ehk soojusülekanne.

Soojusvoog soojusülekandele arvutatakse Newtoni-Richmanni valemiga järgmiselt:

$$\psi = \alpha \cdot \Delta t \quad \text{ehk} \quad \psi = \frac{\Delta t}{1/\alpha}, \quad (3.1)$$

kus soojusülekandetegur $\alpha = \psi/\Delta t$ tähendab keskmist soojusvoogu $\Delta t = 1\text{K}$ kohta. Soojusülekande teguri pöördväärtus $1/\alpha = R_p$ on soojuskandja piirikihi soojustakistus.

Laminaarses allkihis (vt. joon. 3.1), kus soojuskandja kihid ei segune, on soojusvoog teatud täpsusega avaldatav Fourier' valemiga:

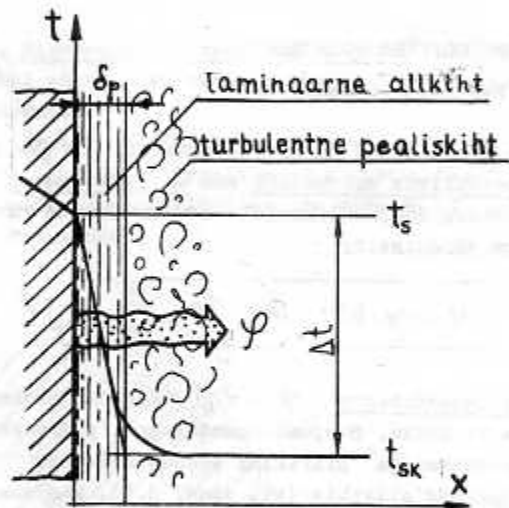
$$\psi = \frac{\lambda_p}{\delta_p} \cdot \Delta t.$$

* Soojuskandja tähendab siin üldistatavalt kõiki soojusülekande osalevaid gaase või vedelikke.

Võrdlusest valemiga 3.1 selgub, et soojusülekande tegur on väärdeldav piirikihi soojusjuhtivussena - $\alpha = \lambda_p / \delta_p$.

Paraku piirikihi paksust δ_p ei ole võimalik mõõta, mistõttu suhtel λ_p / δ_p on üksnes selgitav tähtsus.

Soojusülekanne mõjutab soojuskandja voolamiskiirus, soojusjuhtivustegur, viskoossus, tihedus, erisoojus, ruumpaisumistegur, soojusülekandepinna kuju ja mõõdud ning soojuskandja ja pinnatemperatuurivahe. Soojusülekande tegur arvestab kõiki soojusülekanne efektiivsust mõjutavaid tingimusi komplekselt. Soojusülekande teguri informatsioonimahukust kinnitavad konvektiivse soojuslevi diferentsiaalvõrrandid (vt. jaotis 3.2).



Joon. 3.1. Temperatuuri muut soojuskandja piirikihis

Inženeriülesannetes arvutatakse soojusülekande tegur sarnasusteooria meetodil (vt. jaotised 3.3 ja 3.4).

Ettekujutuse soojusülekande teguri suurusjärgust annab tabel 3.1.

Tabel 3.1. Soojusülekande teguri suurusjärg [5]

Soojus- kandja	Soojusülekande tingimus	α W/(m ² .K)
Gaas	vabakonvektsioon	6...100
	sundkonvektsioon	12...300
Vesi	vabakonvektsioon	100...1000
	sundkonvektsioon	1000...1200
	keemine torudes	580...55000
Veeaur	kelmeline kondenseerumine	4650...17500
	piisk-kondenseerumine	46500...140000

3.2. Soojuslevi diferentsiaalvõrrandid

Diferentsiaalvõrrandite abil uuritakse füüsikalisi protsesse. Konvektiivset soojuslevi voolavas keskkonnas iseloomustavad järgmised diferentsiaalvõrrandid:

$$\alpha = - \frac{\lambda_s}{t_s - t_{sk}} \left(\frac{\partial t}{\partial n} \right)_{n \rightarrow 0} \quad (3.2)$$

$$\frac{Dt}{d\tau} = a \cdot \nabla^2 t \quad (3.3)$$

$$\rho \frac{D\vec{w}}{d\tau} = \rho g - \nabla p + \mu \nabla^2 \vec{w} \quad (3.4)$$

$$\frac{\partial w_x}{\partial x} + \frac{\partial w_y}{\partial y} + \frac{\partial w_z}{\partial z} = 0 \quad (3.5)$$

Allpool selgitame diferentsiaalvõrrandite (3.2)...(3.5) tähendust.

(3.2) - Soojusülekande diferentsiaalvõrrand kirjeldab soojusülekande pinnal soojuskandja piirikihis toimuvat soojuslevi.

(3.3) - Energia diferentsiaalvõrrand (Fourier'-Kirchhoffi) kirjeldab mittestatsionaarset temperatuurivälja soojuskandja ($\rho = \text{const.}$) voolamisel kolmemõõtmelises ruumis:

$$\frac{dt}{d\tau} = \frac{\partial t}{\partial \tau} + w_x \frac{\partial t}{\partial x} + w_y \frac{\partial t}{\partial y} + w_z \frac{\partial t}{\partial z}$$

on täistuletis temperatuurist $t = f(x, y, z, \tau)$ aja järgi soojuskandja voolamiskiirusel \vec{w} . Võrrandis (3.3) kasutatud sümbol - $\nabla^2 t = \frac{\partial^2 t}{\partial x^2} + \frac{\partial^2 t}{\partial y^2} + \frac{\partial^2 t}{\partial z^2}$ tähendab temperatuuri teist järku tuletist koordinaatide x, y ja z suunal. Tahkele kehale, mil $\vec{w} = 0$, saab energia võrrandi kirjutada järgmiselt:

$$\frac{\partial t}{\partial \tau} = a \cdot \nabla^2 t. \quad (3.3')$$

Statsionaarse temperatuurivälja puhuks, kui $\frac{\partial t}{\partial \tau} = 0$, kehtib

$$\nabla^2 t = 0. \quad (3.3'')$$

(3.4) - Liikumise diferentsiaalvõrrand (Navier-Stokesi) määrab soojuskandja ($\rho = \text{const.}$) kiiruse jaotuse kolme-mõõtmelises ruumis vektoriaalsel kujul. Võrrandi saab kirjutada ka järgmise süsteemina:

$$\left\{ \begin{aligned} \rho = \frac{Dw_x}{d\tau} &= \rho g_x - \frac{\partial p}{\partial x} + \mu \left(\frac{\partial^2 w_x}{\partial x^2} + \frac{\partial^2 w_x}{\partial y^2} + \frac{\partial^2 w_x}{\partial z^2} \right) \\ \rho = \frac{Dw_y}{d\tau} &= \rho g_y - \frac{\partial p}{\partial y} + \mu \left(\frac{\partial^2 w_y}{\partial x^2} + \frac{\partial^2 w_y}{\partial y^2} + \frac{\partial^2 w_y}{\partial z^2} \right) \\ \rho = \frac{Dw_z}{d\tau} &= \rho g_z - \frac{\partial p}{\partial z} + \mu \left(\frac{\partial^2 w_z}{\partial x^2} + \frac{\partial^2 w_z}{\partial y^2} + \frac{\partial^2 w_z}{\partial z^2} \right), \end{aligned} \right.$$

kus $\frac{Dw_x}{d\tau}$, $\frac{Dw_y}{d\tau}$ ja $\frac{Dw_z}{d\tau}$ on kiiruse projektsioonide täistuletised aja järgi. Näiteks x -telje suunal on

$$\frac{Dw_x}{d\tau} = \frac{\partial w_x}{\partial \tau} + w_x \frac{\partial w_x}{\partial x} + w_y \frac{\partial w_x}{\partial y} + w_z \frac{\partial w_x}{\partial z}.$$

Kokkusurutava soojuskandja puhuks, kui $\rho \neq \text{const.}$, saab liikumise diferentsiaalvõrrandi avaldada järgmiselt:

$$\frac{D\vec{w}}{d\tau} = g\beta_p \Delta t - \frac{1}{\rho} \nabla p + \nu \nabla^2 \vec{w},$$

kus β_p - ruumpaisumistegur $1/K$.

(3.5) - Pidevuse võrrand, mille aluseks on massi jäävuse seadus.

Võrrandisüsteemi [(3.2) (3.3) (3.4) (3.5)] lahendamise on väga töömahukas ülesanne. Seepärast kasutatakse soojusülekandeprotsessi arvutamiseks ühtaegu teoreetilisele analüüsile ja eksperimendile rajatud sarnasusteooriat.

3.3. Sarnasusteooria alused

Sarnasusteooria on õpetus sarnastest füüsikalistest protsessidest geomeetriliselt sarnastele objektidele.

Geomeetrilise sarnasuse tunnuseks on võrreldavate objektide kõigi geomeetriliselt vastavate mõõdete suhte (geomeetrilise sarnasuse teguri) $c_l = l_i / l_i'$ jäävus.

Mis tahes füüsikalise parameetri välja sarnasuse tunnuseks on selle parameetri väärtuste suhete (sarnasusteguri) $c_x = x_i / x_i'$ jäävus võrreldavate väljade kõikides geomeetriliselt vastavates punktides. Sarnasusteguritevahelised seosed saadakse füüsikalist protsessi kirjeldavate diferentsiaalvõrrandite analüüsist.

Soojusülekande sarnasust määrava tingimuse avaldamist selgitatakse järgmiselt.

Kui tähistada soojusülekande tegurid sarnastele soojusülekande juhtudele geomeetriliselt vastavates punktides α_i' ja α_i , siis soojusülekande diferentsiaalvõrrandi (3.2) põhjal saab kirjutada:

$$\begin{cases} \alpha'_i = - \frac{\lambda'_{pi}}{\Delta t'_i} \left(\frac{\partial t'}{\partial n'} \right)_i \\ \alpha''_i = - \frac{\lambda''_{pi}}{\Delta t''_i} \left(\frac{\partial t''}{\partial n''} \right)_i \end{cases} \quad (3.6)$$

Avaldanud sarnasustegurid järgnevalt:

$$c_\alpha = \frac{\alpha'_i}{\alpha''_i}; \quad c_\lambda = \frac{\lambda'_{pi}}{\lambda''_{pi}}; \quad c_t = \frac{\Delta t'_i}{\Delta t''_i} = \frac{t'_i}{t''_i}; \quad c_l = \frac{n'_i}{n''_i} = \frac{l'_i}{l''_i}, \quad (3.7)$$

saame (3.6) ja (3.7) lahendiks

$$c_\alpha = \frac{c_\lambda \cdot c_t}{c_l \cdot c_\lambda}, \quad \text{millest} \quad \frac{c_\alpha \cdot c_l}{c_\lambda} = 1.$$

Seega määrab soojusülekanne sarnasuse mõõtühikuta avaldis

$$\left(\frac{\alpha \cdot l_i}{\lambda_{pi}} \right)' = \left(\frac{\alpha \cdot l_i}{\lambda_{pi}} \right)''$$

millist nimetatakse Nusselti arvuks:

$$Nu = \frac{\alpha \cdot l}{\lambda_f} \quad (3.8)$$

Soojusülekanne intensiivsust mõjutab sundkonvektsioon, mida iseloomustatakse Reynoldsi arvuga:

$$Re = \frac{w \cdot l}{\nu} \quad (3.9)$$

ja vabakonvektsioon, mida iseloomustab Grashofi arv:

$$Gr = \frac{g l^3}{\nu^2} \beta_f \Delta t. \quad (3.10)$$

Soojuskanaja füüsikaliste omaduste mõju soojusülekanne

protsessile arvestab Prandti arv:

$$Pr = \frac{\nu}{a} \quad (3.11)$$

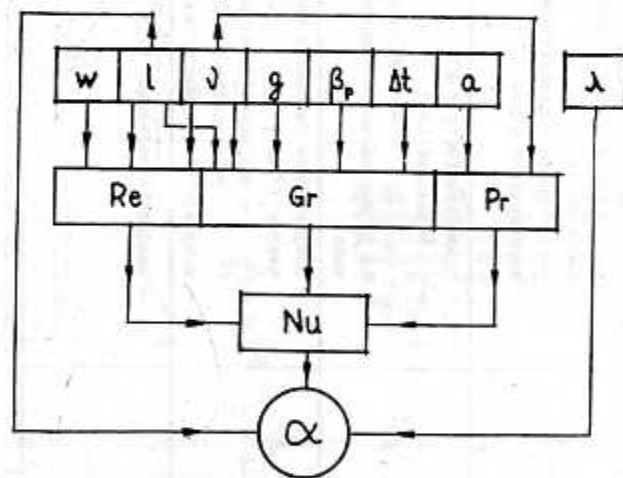
Nimetatud sarnasusarvused selgitab lähemalt tabel 3.2. Soojusülekande tegur arvutatakse Nusselti sarnasusarvust (3.8):

$$\alpha = Nu \frac{\lambda}{l}$$

Võrrand (3.12) Nusselti arvu avaldamiseks on empiiriline

$$Nu = C Re^{n_1} Gr^{n_2} Pr^{n_3}. \quad (3.12)$$

Sarnasusvõrrandi rakendamist soojusülekanne põhitüüpidele on selgitatud jaotises 3.4. Skeem soojusülekande teguri arvutamiseks sarnasusarvude järgi on antud joonisel 3.2.



Joon. 3.2. Soojusülekande teguri arvutuskeem

Tabel 3.2. Sarnasusarvud ja nende füüsikaline tähendus

Tähis ja nimetus	Valem	Sarnasusarvu komponendid	Füüsikaline tähendus
Re Reynoldsi arv	$\frac{w \cdot l}{\nu}$	w - soojuskandja voolamiskiirus m/s, l - määramõõde m, ν - soojuskandja kinemaatiline viskoossustegur m^2/s .	Iseloomustab voolamise hüdrodünaamikat. On inertsi ja viskoossustegurite suhte avaldis. $Re < 2000$ tavalliselt laminaarselt voolamisele. $Re > 10\ 000$ tavaliselt turbulentselt voolamisele.
Gr Grashofi arv	$\frac{g \beta \Delta t l^3}{\nu^2}$	β - ruumalaülestegur K^{-1} ($\beta = \frac{1}{T}$ ideaalgaasile), $\Delta t = t_s - t_{\infty}$ - soojusülekanne pinnale ja soojuskandja temperatuuride vahe.	Iseloomustab vabakonvektsiooni hüdrodünaamikat. On soojuskandja paisumisest tekkiya tõstejõu ja liikumist tõkestava viskoossustegurite suhte avaldis.
Pr Prandli arv	$\frac{\rho c_p \nu}{\lambda}$	c_p - soojuskandja isobaarne massierisoojus $J/(kg \cdot K)$, $\nu = \frac{\lambda}{\rho c_p}$ - soojuskandja temperatuurijuhtivustegur m^2/s , λ - soojusjuhtivustegur $W/(m \cdot K)$.	Arvestab soojuskandja viskoossuse ja temperatuurijuhtivuse koosmõju. Gaasile $Pr = 0,67 \dots 1,0$. Vedelikele $Pr = 1 \dots 2500$.
Nu Nusselti arv	$\frac{\alpha \cdot l}{\lambda}$	α - soojusülekande tegur $W/(m^2 \cdot K)$.	Iseloomustab soojusülekanne intensiivsust. Vähendab 1 meetri pakuse soojuskandjakihi soojustakistuse λ/α suhet soojusülekanne takistusse λ/α .

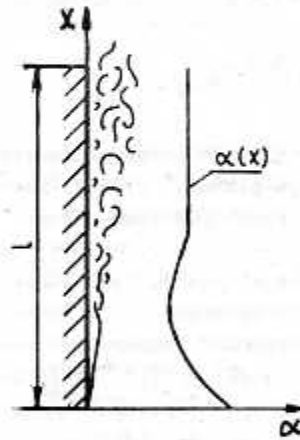
38

3.4. Soojusülekande teguri arvutus

3.4.1. Soojusülekanne vabakonvektsiooni puhul

Vabakonvektsiooni kutsus esile soojuskandja soojenemine või jahtumine soojusülekandepinnal. Soojenenud kihid liiguvad tõusvalt ning jahtunud kihid langevalt. Vabakonvektsiooni intensiivsust mõjutab muu hulgas soojusülekandepinna asend gravitatsioonivälja suhtes ja soojusvoo suund.

Joonisel 3.3 on selgitatud soojuskandja vabakonvektiivset soojenemist vertikaalpinnal. Pinna alumisel serval kujuneb soojuskandja laminaarne allkiht, mis kõrgemal areneb nõrgalt keeriselise pealiskihiga üleminekupiirikihiks. Veelgi kõrgemal kujuneb välja turbulents pealiskiht, mis hakkab laminaarset allkihti õhemaks uhtma. Soojusülekande tegur muutub pöördproportsionaalselt soojusülekandepinnal kujuneva piirikihi pakusele - vt. joon. 3.3.



Joon. 3.3. Tõusva vooluga vabakonvektsioon vertikaalpinnal. Soojusülekande tegur muutub pöördproportsionaalselt pinnal kujuneva piirikihi pakusega

Vabakonvektsiooni intensiivsust iseloomustatakse järgmise sarnasusvõrrandiga:

$$Nu = C (Gr \cdot Pr)^n, \quad (3.43)$$

kus C ja n saab kõrvalolevast tabelist $Pr > 0,7$ puhuks. Määravparameetrid Nu , Gr ja Pr arvutamiseks võetakse siin piirikihi keskmisel temperatuuril

$$t_f = 0,5 (t_s + t_{sk}).$$

Määravmõõtmeks vertikaalpindade puhul on seina kõrgus, horisontaalpindade puhul nende väiksem mõõde ja horisontaalsetel varrastel või torudel nende läbimõõt.

Suhteliselt õhukeses soojuskandja kihis, kus vabakonvektsioon on tõkestatud (näiteks aknalaaside vahel) kasutatakse soojusvoo avaldamiseks juhtivusliku soojuslevi valemit (2.2). Soojuskandja kihi ekvivalentne soojusjuhtivustegur arvutatakse järgmiselt:

$$\lambda_{ekw} = [0,18 (Gr \cdot Pr)^{0,25}] \lambda_{sk}.$$

Näide 3.1. Töökojas on vesikiite. Ühe horisontaalse siledasilmalise küttestoru läbimõõt $d = 0,1$ m ja pikkus $l = 10$ m. Toru välispinna temperatuur $t_s = 85$ °C ja ruumi õhu temperatuur $t_{\infty} = 20$ °C.

Arvutada soojusülekande tegur toru pinnal ja toru küttevõimsus (soojusvool) ülesandes antud tingimustel.

L a h e n d u s: Õhk-piirikihi keskmine temperatuur toru pinnal $t_f = 0,5 (t_s + t_{\infty}) = 0,5 (85 + 20) = 52,5$ °C. Sellele vastavalt $\lambda_f = 2,84 \cdot 10^{-2}$ W/(m.K), $\nu_f = 18,2 \cdot 10^{-6}$ m²/s, $Pr = 0,697$, $\beta_f = 1/t_f = 1/(273 + 52,5) = 3,1 \cdot 10^{-3}$ 1/K.

$$Gr = \frac{g d^3 \beta_f \Delta t}{\nu_f^2} = \frac{9,81 \cdot 0,1^3}{(18,2 \cdot 10^{-6})^2} 3,1 \cdot 10^{-3} (85 - 20) = 5,97 \cdot 10^6,$$

$$Gr \cdot Pr = 5,97 \cdot 10^6 \cdot 0,697 = 4,16 \cdot 10^6.$$

Seega vastavalt tabelile 3.3

$$Nu = 0,54 (Gr \cdot Pr)^{1/4} = 0,54 (4,16 \cdot 10^6)^{1/4} = 24,4$$

Tabel 3.3. Võrrandi (3.13) juurde

Gr.Pr	C	n
$< 10^{-3}$	0,45	0
$10^{-3} \dots 10^3$	1,18	1/8
$10^3 \dots 10^9$	0,54	1/4
$10^9 <$	0,135	1/3

ja soojusülekande tegur

$$\alpha = Nu \frac{\lambda_f}{d} = 24,4 \frac{2,84 \cdot 10^{-2}}{0,1} = 6,93 \text{ W/(m}^2 \cdot \text{K)}.$$

Toru küttevõimsus

$$\Phi = \alpha \cdot \Delta t \cdot S_{id} l = 6,93 \cdot 3,14 \cdot 0,1 \cdot 10 \cdot (85 - 20) = 1415 \text{ W}.$$

3.4.2. Soojusülekanne torudes ja kanalites

Soojusülekande teguri arvutamiseks soojuskandja voolamisel pikas* ja sirges torus avaldatakse Nu vastavalt soojuskandja voolamisrežiimile. Laminaarse voolamisrežiimi ($Re < 2,10^3$) puhul

$$Nu = 0,15 Re^{0,33} Pr_{sk}^{0,43} Gr^{0,4} (Pr_{sk}/Pr_s)^{0,25} \quad (3.14)$$

ja turbulentses voolamisrežiimi ($Re > 10^4$) korral

$$Nu = 0,024 Re^{0,8} Pr_{sk}^{0,43} (Pr_{sk}/Pr)^{0,25}. \quad (3.15)$$

Ebastabiilse režiimipiirkonna ($2,10^3 < Re < 10^4$) kohta universaalsed valemid puuduvad.

Sarnasusvalemites esinev tegur $(Pr_{sk}/Pr_s)^{0,25}$ võtab arvesse soojusvoo suuna mõju soojusülekandele.

Ühikeste ja painutatud torude korral korrigeeritakse tulemust parandusteguritega.

Näide 3.2. Veesoojendusboileri torude siseläbimõõt $d = 16$ mm ja pikkus $l = 2$ m. Arvutada soojusülekande tegur toru sisepinnal, kui vee voolukiirus torus on $w = 0,995$ m/s, vee keskmine temperatuur $t_{\infty} = 40$ °C ja toru sisepinna temperatuur $t_s = 100$ °C.

L a h e n d u s: Vee soojusfüüsikalised parameetrid

* Toru loetakse siin pikaks, kui tema pikkus ületab läbimõõdu vähemalt 50 korda.

$t_v = 40 \text{ }^\circ\text{C}$ juures - $\lambda_v = 0,634 \text{ W/(m.K)}$, $\nu_v = 0,659 \cdot 10^{-6} \text{ m}^2/\text{s}$,
 $Pr_v = 4,3$ ja $t_s = 100 \text{ }^\circ\text{C}$ juures $Pr_s = 1,75$.

Voolamisrežiimi täpsustamiseks arvutame Reynoldsi arvu:

$$Re = \frac{w \cdot d}{\nu_v} = \frac{0,995 \cdot 16 \cdot 10^{-3}}{0,659 \cdot 10^{-6}} = 2,42 \cdot 10^4.$$

Seega on vee voolamine torus turbulentne ja Nusselti arv torule avaldada valemist (3.15):

$$Nu = 0,024 Re^{0,8} Pr_v^{0,43} (Pr_v/Pr_s)^{0,25} =$$

$$= 0,021 (2,42 \cdot 10^4)^{0,8} \cdot 4,3^{0,43} \cdot (4,3/1,75)^{0,25} = 158.$$

Siit saame soojusülekande teguri

$$\alpha = Nu \frac{\lambda_v}{d} = 158 \frac{0,634}{16 \cdot 10^{-3}} = 6260 \text{ W/(m}^2 \cdot \text{K)}.$$

Tulemus ei vaja parandamist, kuna tegemist on sirge ja pika toruga ($l/d > 50$).

3.4.3. Soojusülekanne torukimpudel

Sarnasusvõrrand antakse tavaliselt soojuskandja voolu suhtes risti paikneva üksiku toru või 20-realise torukimbu kohta järgmisel kujul:

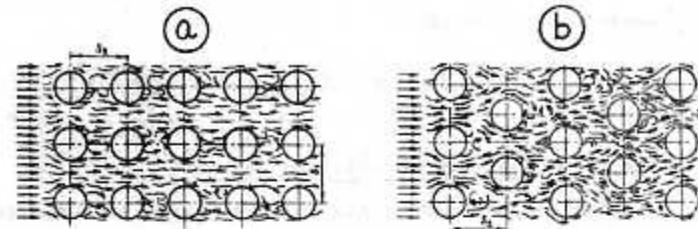
$$Nu = C Re^{n_1} Pr_{sk}^{n_2} (Pr_{sk}/Pr_s)^{0,25}. \quad (3.16)$$

C , n_1 ja n_2 väärtused leiab tabelist (3.4) $Pr \geq 0,6$ puhuks.

Tabel 3.4. Võrrandi (3.16) juurde

Torukimbu skeem	C	n_1	n_2	Re väärtusel
Üherealine	0,5	0,5	0,38	$5 \dots 10^3$
Unerealine	0,25	0,60	0,38	$10^3 \dots 2 \cdot 10^5$
Koridorne	0,26	0,65	0,33	$2 \cdot 10^2 \dots 2 \cdot 10^5$
Malekorriline	0,41	0,60	0,33	

Torukimbu skeeme selgitab joonia 3.4.



Joon. 3.4. a) koridorne torukimp, b) malekorriline torukimp

Võrrandi (3.16) sarnasusarvude avaldamisel on määravad toru välisläbimõõt, soojuskandja keskmine voolukiirus torudevahelises kitsamas lõikes ja soojuskandja keskmine temperatuur torukimbus.

Parandusteguritega võetakse arvesse torude suhtelise sammude S_x/d ja S_y/d mõju, väljakujunemata turbulentsi mõju, kui toru ridu on alla 20, ja torude kaldenurga mõju soojuskandja voolusuuna suhtes.

Näide 3.3. Üksik toru välisläbimõõduga $d = 15 \text{ mm}$ ja pinnatemperatuuriga $60 \text{ }^\circ\text{C}$ asub trafoõli voolus. Õli temperatuur on $20 \text{ }^\circ\text{C}$ ja voolukiirus $w = 0,2 \text{ m/s}$. Arvutada soojusülekande tegur toru välispinnal, kui toru on voolusuunaga risti.

L a h e n d u s: Trafoõli soojusfüüsikalised omadused $t_s = 20 \text{ }^\circ\text{C}$ juures - $\lambda_s = 0,1106 \text{ W/(m.K)}$, $\nu_s = 22,5 \cdot 10^{-6} \text{ m}^2/\text{s}$, $Pr_s = 298$ ja $t_v = 60 \text{ }^\circ\text{C}$ juures $Pr_v = 87,8$. Siis Reynoldsi arv

$$Re = \frac{w \cdot d}{\nu_s} = \frac{0,2 \cdot 0,015}{22,5 \cdot 10^{-6}} = 133,3.$$

Järelikult (vt. tabel 3.4) saame sarnasusvõrrandi (3.16) põhjal arvutada Nusselti arvu järgmiselt:

$$Nu = 0,5 Re^{0,5} Pr_s^{0,36} (Pr_s/Pr_v)^{0,25} =$$

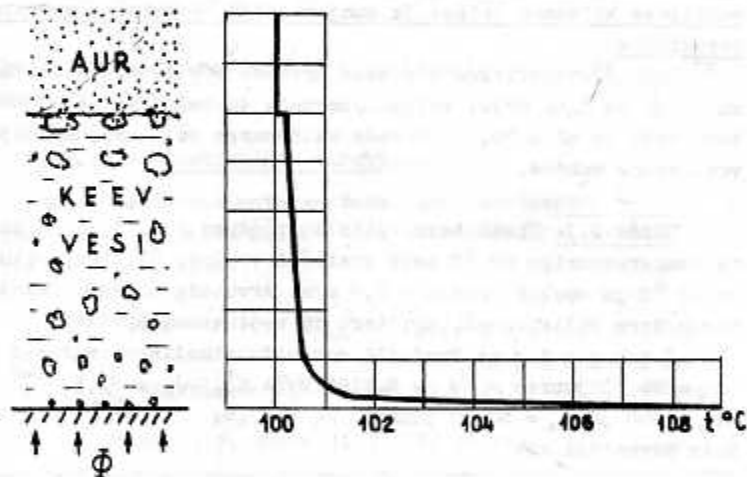
$$= 0,5 \cdot 133,3^{0,5} \cdot 298^{0,38} (298/87,8)^{0,25} = 68,21.$$

Siis soojusülekande tegur

$$\alpha = Nu \frac{\lambda_s}{d} = 68,21 \frac{0,1106}{0,015} = 503 \text{ W/(m}^2 \cdot \text{K)}.$$

3.4.4. Soojusülekanne vedelike keemisel

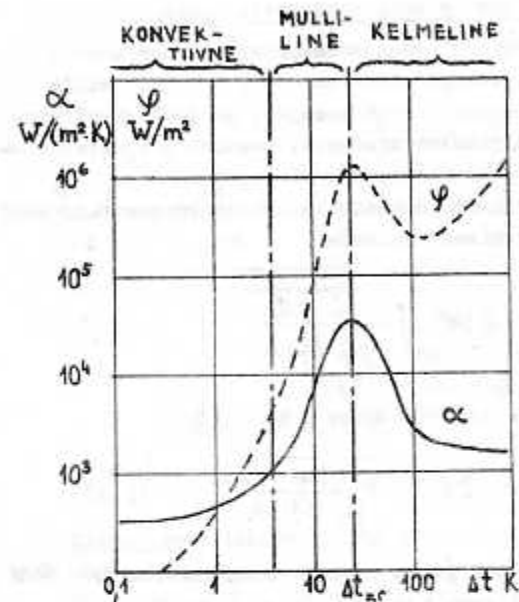
Keemisel saavad aurumullid tekkida üknes ülekuumendatud vedelikukihis, sest soojusülekandepinnal sündivate aurumullide siserõhk peab tasakaalustama vedeliku staatilise ja mulli kesta pindpinevusjõust tingitud rõhu. Seetõttu peab soojusülekandepinna temperatuur ületama vedeliku keemis- ehk küllastustemperatuuri (vt. joon. 3.5).



Joon. 3.5. Temperatuuri muut keeva vee kihis (näide)

Soojusülekandepinna temperatuuri tõstmisel intensiivistub aurumullide teke ja paranevad soojusülekande tingimused (vt. joonis 3.6).

Teatud kriitilisest temperatuurivahest Δt_{cr} alates muutub keemine kelmeliseks, s.t. mullide asemel tekib keemispin-



Joon. 3.6. Soojusülekande tegur ja soojusvoog sõltuvalt temperatuurivahest $\Delta t = t_s - t_{\infty}$ vee keemise puhul rõhul 0,1 MPa

nale kobrutav aurukiht.

Aurukihi halb soojusjuhtivus põhjustab soojusülekande teguri vähenemise (vt. joon. 3.6). Vee keemiskriisi piirkonnas rõhul $p = 0,1 \text{ MPa}$ - $\Delta t_{cr} = 25 \text{ K}$,

$$\alpha_{cr} = 58 \cdot 10^3 \text{ W/(m}^2 \cdot \text{K)} \text{ ja } \psi_{cr} = 1,45 \cdot 10^6 \text{ W/m}^2.$$

Soojusvahetites püütakse vältida vedeliku kelmelist keemisrežiimi.

Soojusülekande teguri arvutamiseks vee mullilisele keemisele rõhuvahemikuks $p = (0,1 \dots 4) \text{ MPa}$ võib kasutada näiteks järgmist empiirilist valemit:

$$\alpha = 122,5 \cdot \Delta t^{2,33} \cdot p^{0,5} \text{ W/(m}^2 \cdot \text{K)}. \quad (3.17)$$

3.4.5. Soojusülekanne auru kondenseerumisel

Auru kondenseerub, kui soojusülekannepinna temperatuur on madalam auru küllastustemperatuurist - $t_s < t_{\text{sat}}$, mille juures vabaneb auru kondenseerumissoojus. Soojusülekannepinna kujunev kondensaadikiht moodustab peamise soojustakistuse soojusülekannele auru kondenseerumisel.

Soojusülekanne teguri püstseinale, mille kõrgus h m, saab arvutada näiteks järgmisest valemist:

$$\alpha = 0,943 \sqrt[4]{\frac{r_a \cdot \rho_a \cdot g \cdot \lambda_a^3}{\mu_a \cdot \Delta t \cdot h}} \quad (3.18)$$

ja rõhtsale torule välisläbimõõduga d m

$$\alpha = 0,728 \sqrt[4]{\frac{r_a \cdot \rho_a \cdot g \cdot \lambda_a^3}{\mu_a \cdot \Delta t \cdot d}} \quad (3.19)$$

Soojusülekanne tegur puhta veeauru kondenseerumisel võib olla 5000 W/(m²·K) piires.

Auru hulgas leiduv gaas võib oluliselt halvendada soojusülekanne tingimusi kondenseerumisel. Näiteks 1% õhulisa veeauru hulgas võib vähendada soojusülekanne tegurit kuni 60% võrra.

4. KIIRGUSLIK SOOJUSLEVI

4.1. Kiirgusvool ja kiirgusvoog

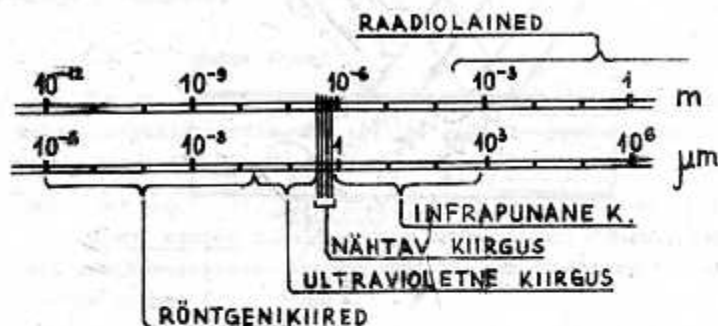
Konvektiivse soojusülekanne kõrval võib keha pinnal toimuda kiirguslik soojusülekanne, kui keha asub soojuskiirgusele läbipaistvas keskkonnas.

Kõik tahked kehad ja vedelikud kiirgavad ja neelavad soojust õhukeses pinnakihis. Gaaside kiirgamine-neelamine on seevastu sülvakihiline.

Kiirguslikku soojuslevi võib käsitleda nii energiakvantide ülekanne nähtusena kui ka elektromagnetilaine levina. Käes-

olevas õpivahendis on valik langenud viimasele.

Joonisel 4.1 on näidatud elektromagnetilise kiirgusspektri väljad.



Joon. 4.1. Elektromagnetilise kiirgusspektteri väljad

Kiirgusvool tähendab keha pinnalt ühes ajahikus välja-kiirguvat energiat.

Kiirgusvoog $E = d\Phi_E/dA$ on elementaarpinna dA kiirgusvool.

Keha pinnale langev kiirgusvool Φ_E võib osalt kehas neelduda - Φ_A , keha pinnalt peegelduda - Φ_R ja keha läbida - Φ_D (vt. joonis 4.2). Neelduva, peegelduva ja läbiva energia suhtelisi osi nimetatakse vastavalt:

$$\begin{aligned} \Phi_A/\Phi_E &= A \quad - \text{neeldumistegur,} \\ \Phi_R/\Phi_E &= R \quad - \text{peegeldustegur,} \\ \Phi_D/\Phi_E &= D \quad - \text{läbitavustegur.} \end{aligned}$$

$$A + R + D = 1 \quad (4.1)$$

Teoreetilised mudelkehad võivad olla järgmised:

$A = 1$ ($R=D=0$) - mustkeha (absoluutselt must keha),

$R = 1$ ($A=D=0$) - absoluutne peegel,

$D = 1$ ($A=R=0$) - absoluutselt läbipaistev keha.